



دوازدهمین کنگره ملی مهندسی عمران

۱۳۹۹ خرداد ۸و۷

دانشگاه صنعتی سهند، تبریز، ایران



بهینه سازی تولید بیوگاز در فرایند کمک-هضم بی‌هوایی لجن تصفیه خانه فاضلاب شهری و پسماند آلتی

رضا آذرمنش^۱، مریم حسنی زنوزی^۲ (مؤلف رابط)، حسین غیاثی نژاد^۱

۱- دانشجوی کارشناسی ارشد مهندسی عمران- محیط زیست دانشگاه علم و صنعت ایران

۲- استادیار دانشکده مهندسی عمران، دانشگاه علم و صنعت ایران

reza_azarmanesh@civileng.iust.ac.ir
[mhzonoozi@iust.ac.ir \(corresponding author\)](mailto:mhzonoozi@iust.ac.ir)
hghiasinejad@iust.ac.ir

خلاصه

در اکثر تصفیه خانه های فاضلاب دنیا، لجن های تولید شده که به واحد هضم بی هوایی منتقل می شوند از لحاظ محتوای مواد آلی (VS) و نسبت C/N (کربن به نیتروژن) در شرایط نامطبوبی قرار دارند. به همین دلیل به منظور بهبود پارامترهای مذکور از انواع کمک-خوارک های آلتی استفاده می شود. در این راستا هدف اصلی پژوهش حاضر، مطالعه بر روی فرایند کمک-هضم بی هوایی لجن تصفیه خانه فاضلاب شهری (SS) و پسماند غذایی (FW) می باشد. در این پژوهش، علاوه بر مطالعه نسبتهای مختلف پسماند غذایی به لجن فاضلاب VS_{FW}:VS_{SS}، از ۰:۴ تا ۴:۰، نسبتهای (FW) می باشد. آزمایشها در هفت راکتور متفاوتی از لجن ته نشینی اولیه به لجن ته نشینی ثانویه (۰:۱، ۱:۰ و ۲:۱) نیز مورد آزمایش قرار گرفته است. آزمایشها در تأثیرگذارتری در مقایسه با نسبت VS_{Pr}:VS_{Sc}، بر میزان تولید بیوگاز و حذف VS اثربخشی دارند. رگرسیون غیرخطی درجه ۲ با ضریب همبستگی بسیار بالا بین داده های حذف VS و نسبت C/N به منظور دستیابی به بالاترین میزان حذف VS در حدود ۱۶ بود. همچنین بین داده های میزان تولید بیوگاز و نسبت C/N به دست آمد. با توجه به روند خطی به دست آمده، با افزایش نسبت C/N در محدوده مورد بررسی (۷/۱۹-۸/۱۹)، مقدار تولید بیوگاز به صورت پیوسته افزایش پیدا کرد. دو برابر کردن نسبت VS_{Pr}:VS_{Sc} تحت مقداری کمتر نسبت VS_{FW}:VS_{SS} (۰:۴ و ۱:۳)، تأثیر مشتبی بر میزان حذف VS و تولید بیوگاز داشت در حالی که تحت مقداری بالاتر نسبت VS_{FW}:VS_{SS} (۲:۲)، به شکل معکوسی اثر کرد و موجب کاهش حذف VS و تولید بیوگاز شد. در راکتورهای با درصد اختلاط ۵۰٪ پسماند غذایی (VS_{FW}:VS_{SS} برابر با ۲:۲)، تأثیر افزایی ناشی از ترکیب لجن فاضلاب و پسماند غذایی بر مقدار تولید بیوگاز مشاهده شد اما در راکتورهای با درصد اختلاط ۲۵٪ (VS_{FW}:VS_{SS} برابر با ۱:۳)، این هم افزایی مشاهده نگردید. دلیل این امر، غلظت پایین تر آمونیاک آزاد در راکتورهای با درصد اختلاط ۵۰٪ پسماند غذایی تشخیص داده شد. به طور کلی، در میان تمامی راکتورها، راکتور R5 با نسبت VS_{Pr}:VS_{Sc} برابر با ۱:۱ و نسبت VS_{FW}:VS_{SS} برابر با ۲:۲ بهترین عملکرد را از نظر حذف VS و تولید بیوگاز داشت. میزان تولید بیوگاز تجمعی راکتورهای مختلف با استفاده از مدل اصلاح شده گمپرتز (Modified Gompertz Model) مدلسازی گردید که بر اساس مقدار R² به دست آمده، مشخص شد که فرایند کمک-هضم بی هوایی لجن فاضلاب و پسماند غذایی در همه نسبتهای مورد استفاده، توسط این مدل به خوبی شیوه سازی می شود.

واژه های کلیدی: فرایند کمک-هضم بی‌هوایی، لجن فاضلاب شهری، پسماند غذایی، حذف جامدات فرار، تولید بیوگاز

۱. مقدمه

در دهه های اخیر، همزمان با افزایش سریع جمعیت در سراسر دنیا تولید فاضلاب نیز به صورت قابل ملاحظه ای افزایش یافته است [۱]. تصفیه این حجم عظیم فاضلابها منجر به تولید مقداری بسیار زیادی از لجن می گردد [۲]. لجن فاضلاب عمدها شامل لجن حوضچه ته نشینی اولیه و لجن مازاد حوضچه ته نشینی ثانویه است که به عنوان محصولات جانبی در تصفیه خانه های فاضلاب تولید می شوند [۳]. به طور کلی لجن حوضچه ته نشینی اولیه عمدها



دوازدهمین کنگره ملی مهندسی عمران

۱۳۹۹ خرداد ۸و۷

دانشگاه صنعتی سهند، تبریز، ایران



شامل مواد آلی خام زود تجزیه پذیر و قابل تهشینی و لجن حوضچه تهشینی ثانویه نیز ماهیت آلت داشته و عمدتاً حاوی فلاکهای باکتریایی می‌باشد. لجن بیولوژیکی حوضچه تهشینی ثانویه نسبت به لجن حوضچه تهشینی اولیه دیر تجزیه پذیرتر است [4]. این لجن‌ها به دلیل حضور محتوای بالای جامدات فرار (VS) به شدت فسادپذیر، دارای بوی نامطبوع و حاوی انواع مختلف پاتوژن‌ها هستند. به همین دلیل تخلیه و رها کردن آنها در محیط موجب بروز مشکلات بهداشتی و محیط‌زیستی فراوانی می‌شود [4]. از این‌رو تصفیه و دفع این لجن فاضلاب از اهمیت ویژه‌ای برخوردار است. روش‌های متعددی به منظور تصفیه و بی‌خطرسازی لجن فاضلاب وجود دارد که در میان آنها فرایند هضم بی‌هوایی به دلیل کارایی بالا در کاهش حجم لجن، کاهش COD و BOD، از بین بردن پاتوژن‌ها و تبدیل محتوای آلت به انرژی تجدیدپذیر به عنوان یک روش مطمئن شناخته می‌شود [5,6].

هضم بی‌هوایی یک فرایند بیولوژیکی است که در آن گروهی از میکرووارگانیزم‌ها در غیاب اکسیژن مواد آلی را مصرف می‌کنند که در نهایت منجر به تثبیت لجن (کاهش محتوای جامدات فرار یا VS) و تولید بیوگاز می‌شود [7]. بیوگاز تولید شده از طریق فرایند هضم بی‌هوایی شامل متنان (۷۰–۶۰٪)، کربن‌دی‌اکسید (۴۰–۳۰٪) و مقادیر کمی از سایر گازها شامل هیدروژن‌سولفید، هیدروژن و نیتروژن است [6]. محتوای متنان تولید شده دارای ارزش حرارتی قابل توجهی می‌باشد و یک منع انرژی تجدیدپذیر به‌ویژه برای استفاده در خود تصفیه خانه‌ها به شمار می‌رود [4,6,8]. میزان تولید بیوگاز از لجن فاضلاب به طور معمول $0.8\text{--}1.1 \text{ m}^3/\text{kg VS}_{\text{removed}}$ می‌باشد [4]. مقدار و ترکیبات بیوگاز تولیدی بستگی به پارامترهای متعدد بهره برداری و محیطی از قبیل دما، شرایط اختلاط، نوع و میزان مواد آلی، نسبت خوراک به بذر باکتری، pH و جوامع میکروبی دارد [9]. همزمان با تولید بیوگاز، محتوای VS لجن شامل فلاکهای بیولوژیکی و مواد آلی خام تا بیش از ۵۰٪ کاهش پیدا می‌کنند که در نتیجه آن، اصطلاحاً لجن تثبیت می‌شود. لجن تثبیت شده خروجی از فرایند هضم به دلیل وجود مقادیر زیاد نیتروژن و فسفر می‌تواند به عنوان کود در کشاورزی مورد استفاده قرار گیرد [10]. اما به دلیل وجود مواد آلی دیر تجزیه پذیر (به‌ویژه فلاکهای باکتریایی) و نیز نسبت نامناسب (معمولًا پایین) کربن به نیتروژن (C/N)، معمولاً لجن خروجی از فرایند هضم به‌طور کامل تثبیت و پایدار نشده است [11]. بنابراین اصلاح محتوای خوراک و رودی به فرایند هضم از نظر نوع مواد آلی و نسبت C/N، به منظور افزایش تولید بیوگاز و تثبیت کامل لجن (کاهش هرچه بیشتر VS) بسیار ارزشمند است.

فرایند کمک-هضم بی‌هوایی روشی برای بهبود کارایی هضم بی‌هوایی لجن فاضلاب است. در این فرایند ماده کمک-خوراک (پسماندهای آلی جامد یا مایع) برای از بین بردن معايب لجن فاضلاب شامل نسبت C/N پایین، محتوای مواد آلی پایین و حضور مواد آلی سخت و مقاوم در برابر تجزیه به کار گرفته می‌شود [12-14]. یکی از مناسب‌ترین پسماندهای آلتی که می‌توان به عنوان کمک-خوراک برای از بین بردن نواقص ذکر شده و همچنین بهبود عملکرد هضم استفاده کرد بخش آلتی پسماند جامد شهری است [9]. مهم‌ترین مشخصه‌های پسماند غذایی، محتوای بالای مواد آلی زود تجزیه پذیر و نسبت C/N بالای آن است. براساس مطالعات پیشین، ترقیق ترکیبات سمی، بهبود ۱۲۷٪/۲۲٪ تولید متنان، متعادل کردن محتوای مغذی، بهبود نسبت C/N از ۹-۶ تا ۲۰-۱۴، افزایش حذف جامدات فرار به میزان ۷٪/۳۵٪ و تحریک فعالیت میکروبی، از جمله مزیت‌های استفاده از پسماند غذایی به عنوان کمک-خوراک هستند [13-17]. پژوهش‌های مختلفی در رابطه با فرایند کمک-هضم بی‌هوایی لجن فاضلاب به همراه پسماند غذایی به منظور افزایش کارایی فرایند انجام شده است. از مهمترین مسائلی که عموم محققان در این پژوهشها با آن مواجه بوده‌اند، نسبت اختلاط بهینه پسماند غذایی و لجن فاضلاب برای دستیابی به بالاترین درجه تثبیت و بیشترین میزان تولید بیوگاز بوده است. در عموم مراجع گزارش شده است که اضافه کردن پسماند غذایی به میزان ۵۰-۳۰٪ نسبت به کل خوراک و رودی (VS/VS) به صورت قابل ملاحظه‌ای کارایی هضم بی‌هوایی لجن فاضلاب را تحت شرایط میان دوست (mesophilic) بهبود می‌بخشد [13,16,18-24].

در هیچ‌یک از پژوهش‌های گذشته، تاثیر نسبت لجن اولیه به لجن ثانویه به همراه اثر ماده کمک-خوراک، مورد بررسی قرار نگرفته است. از این‌رو در پژوهش حاضر تلاش شده است تا کارایی و راندمان فرایند کمک-هضم بی‌هوایی لجن تصفیه‌خانه فاضلاب تحت تاثیر نسبت‌های اختلاط مختلفی از لجن اولیه، لجن ثانویه و ماده کمک-هضم (پسماند غذایی) در شرایط مزوپلیک (۳۵ درجه سانتیگراد) به صورت جامع مورد ارزیابی قرار گیرد. به منظور ارزیابی کارایی و راندمان فرایند، میزان کاهش جامدات فرار (VS)، تولید بیوگاز و محتوای متنان خالص تولیدی مورد بررسی قرار گرفته‌اند.

۲. مواد و روش‌ها

۱.۲. لجن فاضلاب و پسماند غذایی

نمونه لجن حوضچه‌های تهشینی اولیه و تهشینی ثانویه، از واحدهای تغليط لجن تصفیه‌خانه فاضلاب جنوب تهران، قبل از ورود به هاضمهای بی‌هوایی تهیه شدند. بذر باکتری موردنیاز فرایند نیز از خروجی هاضمهای بی‌هوایی این تصفیه‌خانه که در شرایط مزوپلیک اجرا می‌شوند تهیه گردید. نمونه‌ی پسماند غذایی از دورستوران موجود در محوطه دانشگاه علم و صنعت ایران گرفته شد. ترکیبات پسماند شامل برنج، نان، گوشت قرمز، گوشت مرغ، ماهی، میوه و سبزیجات و حبوبات بود. پس از حذف مواد جامد سخت (از قبیل فلزات، شیشه، استخوان و پلاستیک)، نمونه حاصل توسط زباله خردکن (مدل JD560-B0، شرکت Hangzhou Cleesink، چین) تحت عملیات خردایش قرار گرفت. خصوصیات لجن‌ها و پسماند غذایی در جدول (۱)

ارائه شده است. قبل از شروع فرایند هضم بی‌هوایی، بذر باکتری به مدت ۳ روز در راکتورها تحت شرایط بی‌هوایی قرار داده شد تا باقیمانده مواد آلی تجزیه‌پذیر و جامدات فرار موجود در بذر باکتری حذف شوند و درنهایت بتوان بیوگاز خالص تولیدی از خوراک ورودی را به دست آورد.

جدول ۱- خصوصیات لجن تهشیینی اولیه، ثانویه، بذر باکتری و پسماند غذایی

پارامتر	لجن اولیه	لجن ثانویه	پسماند غذایی	بذر باکتری
TS	% ۲/۴	% ۴/۶	% ۱۳/۹	% ۲/۳
VS	% ۲/۱۴	% ۴/۲	% ۱۲/۵	% ۱/۶۳
VS/TS	% ۸۹	% ۸۵/۲	% ۹۰	% ۷۱
C/N	% ۸/۴	% ۷/۶	% ۱۹/۷	% ۷/۲

۲.۰۲. هاضم بی‌هوایی در مقیاس آزمایشگاهی

هاضم بی‌هوایی ساخته شده در مقیاس آزمایشگاهی، شامل ۷ راکتور دربسته از جنس پلکسی گلاس به حجم ۲ لیتر می‌باشد. به منظور اطمینان از ایجاد شرایط کامل‌بی‌هوایی، یک رینگ پلاستیکی میان درب و بدنه حائل شده و درب راکتور به واسطه چهار نقطه پیچ و مهره محکم به بدنه چفت شده است. اجزاء مورد نیاز برای اندازه گیری حجم بیوگاز تولیدی و برداشت نمونه‌های بیوگاز و لجن بر روی بدنه راکتورها نصب شده‌اند. میزان تولید بیوگاز با استفاده از سیستم جابه‌جایی حجمی مایع و به کارگیری محلول اسیدی ($pH=2$) اندازه گیری شد. میزان تولید بیوگاز به صورت روزانه قرائت و یادداشت گردید (شکل ۱).


شکل ۱. تصویر سیستم هاضم بی‌هوایی مورد استفاده

۳.۰۲. شرایط آزمایش و نسبت‌های اختلاط

با توجه به مشخصات ارائه شده در جدول (۱) و بر اساس محاسبات انجام شده، در هریک از راکتورها مقادیر مختلفی از لجن تهشیینی اولیه، لجن تهشیینی ثانویه و پسماند غذایی براساس درصد جامدات فرار آن‌ها قرار داده شد. خوراک ورودی (Feed) و بذر باکتری (Ic) به نسبت ۲:۱ (خوراک ورودی:بذر باکتری) بر اساس محتوای VS آن‌ها مخلوط شدند. نحوه تنظیم و انتخاب نسبت‌ها در جدول (۲) نشان داده شده است.

جدول ۲- نحوه انتخاب نسبت‌های اختلاط خوراک ورودی و بذر باکتری

پارامترها	R1	R2	R3	R4	R5	R6	R7
VS _{FW} :VS _{SS}	۰:۴	۰:۴	۱:۳	۱:۳	۲:۲	۲:۲	۴:۰
VS _{Pr} :VS _{Sc}	۱:۱	۲:۱	۱:۱	۲:۱	۱:۱	۲:۱	---
VS _{Feed} :VS _{Ic}	۱:۲	۱:۲	۱:۲	۱:۲	۱:۲	۱:۲	۱:۲
W _{Pr} (g)	۲۳۶/۵	۳۰۸/۳	۱۸۶	۲۴۱	۱۲۸/۶	۱۷۶/۲	۰
W _{Sc} (g)	۱۲۱/۸	۷۷/۱	۹۵/۸	۶۰	۶۵/۴	۴۴/۱	۰
W _{FW} (g)	۰	۰	۲۲/۳	۲۱	۴۲/۹	۴۴/۱	۱۰۰
Total VS _{added}	۱۰/۱	۹/۸۳	۱۰/۶	۱۰/۲	۱۰/۹	۱۱/۱۴	۱۲/۵
C/N _{Feed}	۷/۹۹	۸/۱۳	۱۰/۹۴	۱۱/۰۲	۱۳/۶۷	۱۳/۷۸	۱۹/۷
W _{Ic} (g)	۱۲۴۱/۷	۱۲۱۴/۶	۱۲۹۵/۹	۱۲۷۸	۱۲۵۹/۱	۱۳۳۵/۶	۱۵۰۰

هریک از راکتورها با حدود ۱۶۰۰ میلی لیتر مخلوط خوراک ورودی و بذر باکتری طبق جدول پر شدند و ۴۰۰ میلی لیتر از حجم راکتور به عنوان فضای بالاسری برای جمع آوری بیوگاز تولیدی اختصاص یافت. بلا فاصله بعد از پر کردن راکتورها، فضای داخل آنها با استفاده از گاز نیتروژن به مدت ۳ دقیقه فلاش شد تا گاز اکسیژن موجود در آنها تخلیه گردد [25]. راکتورها به یک همزن مکانیکی مجهز بودند که به صورت متابول (۱۵ دقیقه استراحت و ۵ دقیقه هم زدن) محتويات داخل راکتور را مخلوط می کرد این نحوه اختلاط بر اساس مطالعات گذشته انتخاب شد [26].

۴.۲ روش های آزمایش

جامدات کل (TS) و جامدات کل فرار (VS) بر اساس روش استاندارد اندازه گیری شدند [27]. میزان حجم بیوگاز تولیدی با استفاده از سیستم جابه جایی مانع اندازه گیری شد. نیتروژن کل (TN) و کل نیتروژن آمونیاکی (TAN) با استفاده از کیت های آماده شرکت HACH با محدوده غلظت بالا (به ترتیب -150 و -50 میلی گرم بر لیتر) و به کار گیری دستگاه اسپکتروفوتومتر HACH مدل DR4000 اندازی گردید. غلظت آمونیاک آزاد (FAN) با استفاده از رابطه (۱) محاسبه گردید. برای اندازه گیری pH از دستگاه pH متر پرتابل CyberScan مدل PC300 استفاده شد. به منظور اندازه گیری کل کربن آلی از دستگاه TOC متر مدل Phoenix 8000 متعلق به کمپانی Tekmar Dohrmann استفاده شد.

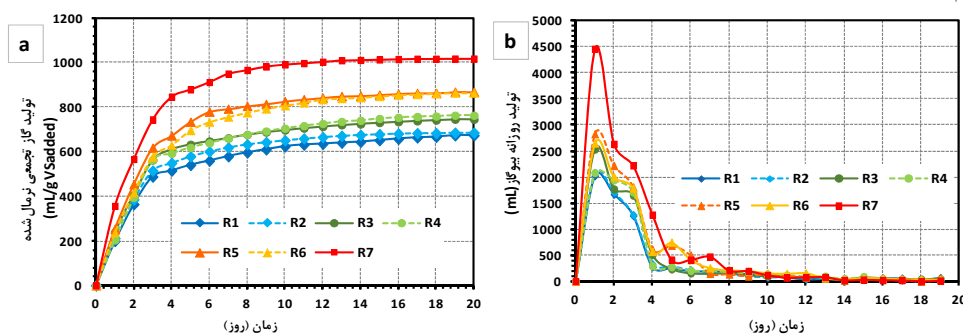
$$FAN = \frac{TAN * (K_a \div 10^{-pH})}{(K_a \div 10^{-pH}) + 1} \quad (1)$$

که در آن TAN غلظت کل نیتروژن آمونیاکی، FAN غلظت آمونیاک آزاد و K_a ثابت دما و برابر با $10^{14.97} \times 10^{-9}$ در $^{\circ}\text{C}$ می باشد.

۳. نتایج و بحث و برسی

۳.۱.۳ عملکرد عمومی راکتورها

در شکل (۲)، روند تولید روزانه و تجمعی گاز در راکتورها مشاهده می شود. طبق شکل، در روزهای ابتدایی فرایند (۴-۵ روز) روند تولید گاز بیشتر از سایر روزها است. یکی از دلایل این امر، بالا بودن غلظت اولیه مواد آلی در خوراک ورودی راکتورها می باشد که در ادامه با کاهش غلظت این مواد، نرخ واکنش نیز کاهش می یابد. دلیل دیگر این است که مواد آلی زود تجزیه پذیر به سرعت در ابتدای فرایند توسط باکتری ها مصرف می شوند و در ادامه مواد دیر تجزیه پذیرتر باقی می مانند و به همین دلیل به کندی تجزیه می شوند. عدم رخداد نوسانات قابل ملاحظه در تولید بیوگاز در طول فرایند نشان دهنده عدم وجود مواد سمی در خوراک و همچنین پایدار بودن فرایند در تمامی راکتورها است.



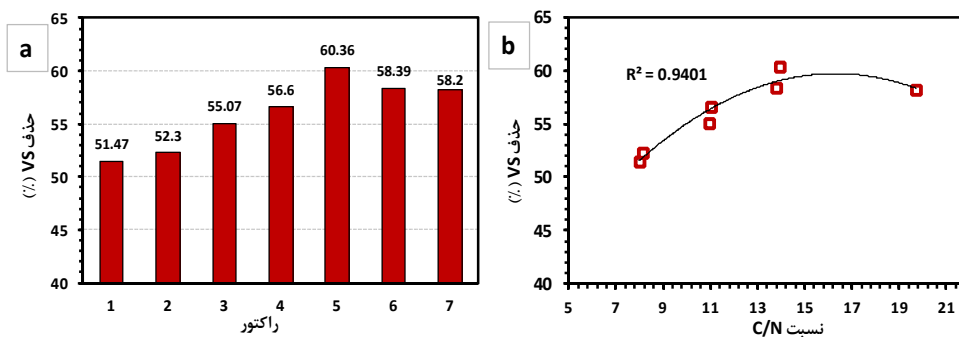
شکل ۲- (a) روند تولید تجمعی بیوگاز در راکتورهای R1-R7 (b) روند تولید روزانه بیوگاز در راکتورهای R1-R7

۴.۲.۳ حذف VS در راکتورها

طبق نتایج بدست آمده از پژوهش حاضر، میزان حذف VS برای نسبت های اختلاط مختلف لجن اولیه، لجن ثانویه و پسماند غذایی بین ۵۱٪ الی ۶۰٪ قرار داشت (شکل ۳-a) به این ترتیب که بیشترین میزان حذف مربوط به راکتور R5 با $60/4$ ٪ و کمترین مقدار مربوط به راکتور R1 با $51/5$ ٪ بوده است. در مطالعات پیشین، میزان حذف VS در فرایند کمک-هضم بیهوازی لجن فاضلاب به همراه پسماند غذایی بین $85/85$ ٪ الی $33/33$ ٪ گزارش شده است [3-19, 20, 23, 28, 29]. بنابراین، مقادیر به دست آمده در پژوهش حاضر، حاکی از کارایی و راندمان مناسب همه راکتورها است. در شکل (۳-b) مقادیر حذف جامدات فرار در مقابل مقادیر C/N ترسیم شده است. همان طور که مشاهده می شود، منحنی چندجمله ای با ضریب همبستگی بسیار بالا ($R^2=0.9401$)، به این نقاط برازش شده است. این نتیجه نشان می دهد که با افزایش نسبت C/N تا یک مقدار مشخص (مقدار عددی ۱۶) میزان کارایی

فرایند کمک-هضم از نقطه نظر حذف جامدات فرار بهبود و پس از آن کاهش خواهد یافت. از طرف دیگر راکتورهایی که دارای نسبت بالای لجن فاضلاب هستند مقادیر حذف VS پایین تری از خود نشان داده‌اند که یکی از دلایل آن می‌تواند مربوط به حضور مواد سخت (به عنوان مثال فلاک‌های بیولوژیکی و ترشحات آن‌ها) در لجن فاضلاب باشد که دیرتر تجزیه خواهد شد.

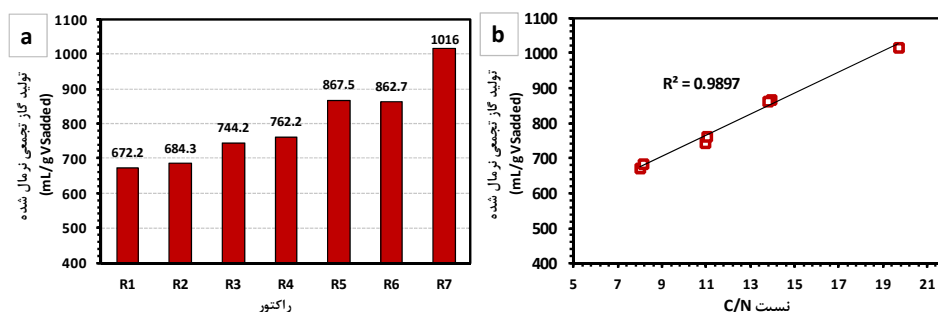
در میان تمامی راکتورها، راکتور R5 با نسبت VS_{Pr}:VS_{Sc} برابر با ۱:۱ و نسبت VS_{FW}:VS_{SS} برابر با ۲:۲ (و نسبت C/N ۱۳/۶۷) بهترین عملکرد را از نظر حذف جامدات فرار داشته است (۰/۴٪). از طرف دیگر راکتورهای R2 و R4 با نسبت VS_{Pr}:VS_{Sc} برابر با ۲:۱ مقادیر حذف VS نسبتاً بهتری در مقایسه با راکتورهای R1 و R3 با نسبت VS_{Pr}:VS_{Sc} برابر با ۱:۱ داشته‌اند. اما این رویه در مورد R5 و R6 صدق نمی‌کند به گونه‌ایکه راکتور R5 با نسبت VS_{Pr}:VS_{Sc} برابر با ۱:۱ دصد حذف VS بالاتری در مقایسه با راکتور R6 با نسبت VS_{Pr}:VS_{Sc} برابر با ۲:۱ داشت. بنابراین به طور کلی دو برابر کردن نسبت VS_{Pr}:VS_{Sc} تحت مقادیر کمتر نسبت VS_{FW}:VS_{SS} (۰/۴ و ۰/۱۳)، تاثیر مثبتی بر میزان حذف VS داشته است در حالی که تحت مقادیر بالاتر نسبت VS_{FW}:VS_{SS} (۲:۲)، به شکل معکوسی اثر کرده و موجب کاهش حذف VS شده است. اما به طور کلی می‌توان از نتایج دریافت که پارامتر C/N در مقایسه با پارامتر VS_{Pr}:VS_{Sc}، تأثیر بیشتری بر عملکرد هاضم از نظر حذف VS داشته که این موضوع اهمیت بالای نسبت C/N به عنوان پارامتر کلیدی برای ارزیابی تعادل مواد مغذی در فرایند هضم بی‌هوایی را نشان می‌دهد.



شکل ۳- (a) میزان حذف VS در راکتورها و (b) میزان همبستگی بین مقادیر درصد حذف VS و نسبت C/N

۳.۳. حجم بیوگاز تولیدی در راکتورها

مقادیر تولید بیوگاز نرمال شده با VS ورودی (VS_{added}) در شکل (۴) نمایش داده شده است. با توجه به شکل (۴-a) با افزایش مقدار VS پسماند غذایی در خواراک ورودی از ۰٪ تا ۱۰۰٪، میزان تولید بیوگاز از ۶۷۲ ml/g VS_{added} به ۱۰۱۶ ml/g VS_{added} افزایش پیدا کرده است. به عبارت دیگر، راکتورهایی که حاوی لجن فاضلاب بیشتری در خواراک ورودی بوده‌اند، بیوگاز کمتری به ازای هر واحد از VS ورودی تولید کرده‌اند. دلیل این امر می‌تواند وجود مواد دیرتجیه‌پذیر و سخت‌هیدرولیزشونده در لجن بهویه لجن ثانویه باشد. نتیجه‌ای مشابه در تحقیق لی و همکاران [۲۵] گزارش شده است. آنها نیز در بررسی فرایند کمک-هضم لجن فاضلاب با استفاده از پسماند غذایی نتیجه گرفتند که تولید بیوگاز کمتر در راکتورهای حاوی مقادیر لجن بالاتر اتفاق افتاده است [۲۵].



شکل ۴- (a) مقادیر تولید بیوگاز تجمعی نرمال شده با VS ورودی (b) همبستگی میان مقادیر بیوگاز تولیدی و نسبت های C/N

در شکل (۴-b) مقادیر تولید گاز نرمال شده در مقابل مقادیر C/N ترسیم شده است. همان‌طور که مشاهده می‌شود، رگرسیون خطی با ضریب همبستگی بسیار بالا ($R^2 = 0.9897$) بین داده‌های این دو پارامتر وجود دارد. رگرسیون خطی به دست آمده حاکی از آن است که با افزایش میزان نسبت C/N (در



دوازدهمین کنگره ملی مهندسی عمران

۱۳۹۹ خرداد ۸ و ۹

دانشگاه صنعتی سهند، تبریز، ایران



محدوده ۷-۲۱) از طریق افزایش نسبت اختلاط پسماند غذایی، میزان تولید بیوگاز به صورت پیوسته افزایش می‌یابد. این مساله نشان می‌دهد که با افزایش سهم پسماند غذایی (VS_{FW}) در کل خوراک ورودی، واکنش‌های اکسایشی و تخمیری به گونه‌ای تغییر می‌کنند که قسمت اعظم محصولات نهایی فرایند به فرم گاز هستند.

اما نکته قابل توجه اینجاست که چرا با وجود آنکه R7 بیشترین تولید بیوگاز را در بین هفت راکتور داشته، اما از نظر حذف جامدات فرار به این خوبی عمل نکرده است. به عبارت دیگر انتظار می‌رفت متناسب با افزایش حذف جامدات فرار از راکتور R1 الی R5 تولید بیوگاز افزایش یافته و سپس با کاهش این پارامتر از راکتور R5 تا R7، تولید گاز نیز کاهش یابد. اما در راکتور R7 این رویه ادامه نیافته و تولید گاز افزایش شدیدی داشته است. دلیل این مسئله احتمالاً به تفاوت ترکیب مواد آلی موجود در لجن فاضلاب و پسماند آلی برمی‌گردد. به طور مثال می‌توان چنین در نظر گرفت که در تبدیل و تحول مواد آلی لجن فاضلاب، با توجه به ترکیب مواد آلی موجود در آن، بعض قابل توجهی از واحد جرم VS به آب تبدیل شده و ماقبی تبدیل به گاز می‌شود اما در پسماند آلی، با توجه به ماهیت و ترکیب آن میزان کمتری از واحد جرم VS به آب تبدیل شده و بعض بزرگتری به گاز تبدیل می‌گردد [3]. این مسئله موجب شده تا با وجود حذف جامدات فرار کمتر در راکتور R7، تولید گاز بیشتری رخ دهد. همین مسئله موجب شده تا نسبت C/N بهینه برای تولید بیوگاز (شکل ۴-b) بزرگ‌تر از نسبت C/N بهینه برای حذف جامدات فرار (شکل ۴-a) باشد.

در تحلیل دیگر، با افزایش نسبت VS_{Pr}:VS_{Sc} از ۱:۱ (راکتور R1 و R3) به ۲:۱ (راکتور R2 و R4) به ترتیب با نسبت‌های VS_{FW}:VS_{SS} برابر با ۰.۴ و ۰.۳، میزان تولید بیوگاز به مقدار ناچیزی بهبود پیدا کرده است. اما این بهبود تحت نسبت اخلاقاً VS_{FW}:VS_{SS} برابر با ۰.۲ مشاهده نمی‌شود به طوری که مقدار بیوگاز تولید شده در راکتور R5 تا حدودی بیشتر از بیوگاز تولید شده در راکتور R6 بوده است. بنابراین همانطور که در رابطه با نتایج حذف VS توضیح داده شد، در اینجا نیز می‌توان گفت دو برابر کردن نسبت VS_{Pr}:VS_{Sc} تحت مقادیر کمتر نسبت VS_{FW}:VS_{SS} (۰.۰ و ۰.۳)، تاثیر مشتی بر میزان تولید بیوگاز داشته است در حالی که تحت مقادیر بالاتر نسبت VS_{FW}:VS_{SS} (۰.۲)، به شکل معکوسی اثر کرده و موجب کاهش تولید بیوگاز شده است. به طور کلی نتایج نشان می‌دهد که نسبت C/N در مقایسه با نسبت‌های VS خوراک ورودی، پارامتر مؤثرتری بر روی تولید بیوگاز است.

۴.۳. سینتیک مدل تولید بیوگاز تجمعی

میزان تولید تجمعی بیوگاز تولید شده در طی فرایند هضم بی‌هوایی با استفاده از مدل و معادله اصلاح شده گمپرتز (Gompertz) محاسبه و مدل‌سازی گردید [30]. مدل اصلاح شده گمپرتز فرم اصلاح شده از معادله گمپرتز است که به صورت معمول به منظور مدل‌سازی مقدار تجمعی بیوگاز تولیدی مورد داستفاده قرار می‌گیرد که در ادامه نمایش داده شده است:

$$Y_t = A \exp \left\{ -\exp \left[\frac{\mu_m e}{A} (\lambda - t) + 1 \right] \right\} \quad (2)$$

که در آن Y_t برابر با میزان بیوگاز تولید شده تجمعی (mL/gVS_{added}) تا زمان t برابر با زمان (ساعت)، A برابر با بیشترین میزان تولید بیوگاز تجمعی (mL/gVS_{added})، μ_m برابر با بیشترین نرخ تولید بیوگاز (mL/gVS_{added.h})، λ برابر با زمان فاز تأخیری یا کمترین زمان موردنیاز برای شروع فرایند تولید بیوگاز (ساعت) و e برابر با مقدار ثابت ۰.۶۱۸۲۸۲ است.

در تمامی راکتورهای مورد آزمایش فاز تأخیری بسیار ناچیز بود به عبارت دیگر به محض شروع فرایند، تولید بیوگاز نیز آغاز گردید. به این ترتیب λ برابر با صفر در نظر گرفته شد. همچنین پارامترهای A و μ_m با استفاده از روش رگرسیون غیرخطی محاسبه گردید. داده‌های مربوط به راکتورهای مختلف در جدول (۳) و نمودارهای مربوطه در شکل (۵) ارائه شده است. طبق شکل می‌توان دریافت که با استفاده از معادله اصلاح شده گمپرتز می‌توان مقدار تولید بیوگاز تجمعی را در طی فرایند کمک-هضم با ضریب همیستگی بسیار بالا ($R^2 > 0.96$) تخمین زد.

جدول ۳- پارامترهای مورد داستفاده در مدل اصلاح شده گمپرتز به منظور تخمین میزان تولید بیوگاز تجمعی

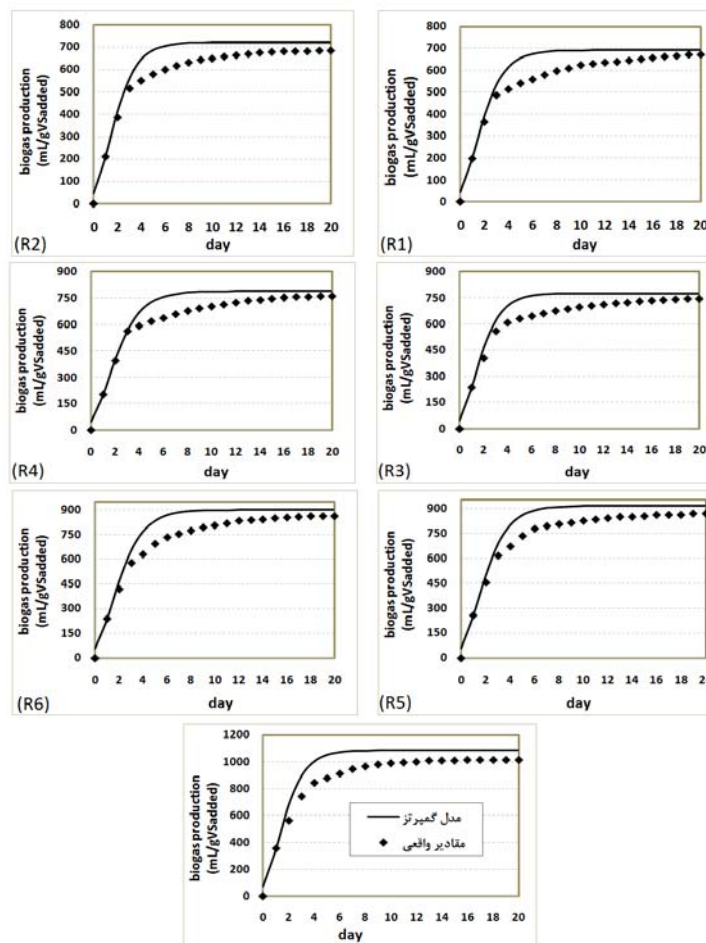
R ²	λ	μ_m	A	راکتور
۰.۹۶۵۱	۰	۱۸۶/۳	۶۹۱/۳۳	R1
۰.۹۷۹۰	۰	۱۹۹	۷۲۱/۷۷	R2
۰.۹۷۶۸	۰	۲۱۶/۹	۷۷۶/۲۴	R3
۰.۹۷۰۶	۰	۲۰۸/۳	۷۸۹/۹	R4
۰.۹۸۴۳	۰	۲۴۵/۶	۹۱۵/۴۲	R5
۰.۹۷۲۵	۰	۲۲۲/۲	۸۹۹/۸۵	R6
۰.۹۷۶۹	۰	۳۰۴/۲	۱۰۸۶/۵	R7

۵.۳ هم افزایی در فرایند گمک-هضم بی‌هوایی

به منظور بررسی اثر هم افزایی در راکتورهای مختلف مقدار تولید بیوگاز در راکتورهای R3-R6 به صورت استوکیومتری و با استفاده از مقدار بیوگاز تولید شده از راکتورهای کنترل (R1، R2 و R7) محاسبه گردید. سپس مقادیر به دست آمده از رابطه استوکیومتری با مقادیر واقعی بدست آمده در آزمایشگاه مورد مقایسه قرار گرفت. این محاسبات با استفاده از فرمولی که توسط لبو و همکاران [21] (۲۰۱۶) ارائه شده است انجام گردید که در ادامه جزئیات آن نمایش داده شده است:

$$SBY_{mixture} = (SBY_{sludge} \times M_{sludge} + SBY_{FW} \times M_{FW}) / M_{mixture} \quad (3)$$

که به ترتیب، SBY_{sludge} میزان تولید بیوگاز استوکیومتری برای هضم تکی لجن، SBY_{FW} میزان تولید بیوگاز استوکیومتری برای هضم تکی پسماند غذایی و $SBY_{mixture}$ میزان تولید بیوگاز استوکیومتری برای مخلوط لجن و پسماند غذایی است. پارامترهای M نیز با اندیشهای نامبرده، به ترتیب مربوط به جرم لجن، جرم پسماند و جرم مخلوط این دو است.



شکل ۵- مدل سازی بیوگاز تولید شده تجمعی در راکتورهای R1-R7 با استفاده از مدل اصلاح شده گمپرتنز

اگر مقدار بیوگاز تولید شده به ازای هر گرم VS اضافه شده به هر راکتور هضم ترکیبی بزرگ‌تر از مقدار به دست آمده از فرمول استوکیومتری فوق باشد، نشان‌دهنده‌ی وجود اثر هم افزایی پسماند غذایی در تولید بیوگاز در راکتورهای باضم ترکیبی است. نتایج و محاسبات مختصرآ در جدول (۴) ارائه شده است. همان‌طور که مشاهده می‌شود برای راکتورهای R3 و R4 مقدار بیوگاز به دست آمده از مقادیر واقعی کوچک‌تر از روابط استوکیومتری می‌باشد، در حالی که در راکتورهای R5 و R6 مقدار بیوگاز به دست آمده از مقادیر واقعی بزرگ‌تر از روابط استوکیومتری هستند. به عبارت دیگر اضافه کردن پسماند غذایی تا ۲۵٪ (بر اساس VS) بر روی تولید بیوگاز اثر منفی نسبی گذاشته است، اما اثر هم افزایی پسماند غذایی بر روی تولید بیوگاز در نسبت‌های اختلاط ۵۰٪ مشاهده می‌شود. با اندازه‌گیری پارامترهای pH و آمونیاک آزاد در تمامی راکتورها نتیجه گرفته شد که احتمالاً مقادیر pH بالاتر



دوازدهمین کنگره ملی مهندسی عمران

۱۳۹۹ خرداد ۸و ۷

دانشگاه صنعتی سهند، تبریز، ایران



(بین ۷/۵ تا ۱۰) و متعاقباً غلظت‌های آمونیاک آزاد (FAN) بالاتر (بین ۲۰۰ mg N/L تا ۱۵۰ mg N/L) در راکتورهای R3 و R4 با ایجاد اثر سمیت، اجازه ایجاد اثر هم‌افزایی در تولید بیوگاز را نداده است. در حالی که مقدار pH مناسبتر و پایین‌تر (بین ۷/۵ تا ۷/۰) و متعاقباً غلظت آمونیاک آزاد کمتر (بین ۲۵ mg N/L تا ۱۰۰ mg N/L) در راکتورهای R5 و R6 برای فرایند هضم بی‌هوایی مناسب بوده است به طوری که اثر هم‌افزایی هضم ترکیبی در این راکتورها آشکار شده است.

جدول ۴- پارامترهای مربوط به تعیین اثر هم‌افزایی اضافه کردن پسماند غذایی به لجن فاضلاب

راکتور	VS _{Pr} :VS _{Sc} ، VS _{FW} :VS _{SS}	راکتورهای کترل (mL/gVS)	بیوگاز ناشی از اختلاف مقدار اقیعی با محاسبه تولید بیوگاز برای راکتورهای با استوکیومتری (استوکیومتری)	استوکیومتری		محاسبه تولید بیوگاز برای راکتورهای با استوکیومتری (mL/gVS _{added})
				واقعی	افتراضی	
R1	۱:۱ ، ۰:۴	۶۷۲/۲	----	----	----	۶۷۲/۲
R2	۲:۱ ، ۰:۴	۶۸۴/۴	----	----	----	۶۸۴/۴
R3	۱:۱ ، ۱:۳	۷۴۴/۲	۷۵۸/۱۵	(۶۷۲/۲×۰/۷۵)+(۱۰۱۶×۰/۲۵)	----	----
R4	۲:۱ ، ۱:۳	۷۶۲/۲	۷۶۷/۲۳	(۶۸۴/۳×۰/۷۵)+(۱۰۱۶×۰/۲۵)	----	----
R5	۱:۱ ، ۲:۲	۸۶۷/۵	۸۴۴/۱۰	(۶۷۲/۲×۰/۵)+(۱۰۱۶×۰/۵)	----	----
R6	۲:۱ ، ۲:۲	۸۶۲/۷	۸۵۰/۱۵	(۶۸۴/۳×۰/۵)+(۱۰۱۶×۰/۵)	----	----
R7	--- ، ۴:۰	۱۰۱۶	----	----	----	۱۰۱۶

۴. نتیجه گیری

مهتمرين نتایج حاصل از پژوهش حاضر به شرح زیر می باشد:

- در مقایسه با نسبت VS_{Pr}:VS_{Sc}، نسبت C/N فاکتور مؤثرتری در میزان حذف VS و مقدار تولید بیوگاز است.
- منحنی درجه دوم با ضریب همبستگی بسیار بالا به داده‌های حذف VS در مقابل C/N برابر شد. مقدار بهینه نسبت C/N به منظور دستیابی به بالاترین میزان حذف VS برابر ۱۶ بود.
- رگرسیون خطی با همبستگی بالا بین میزان تولید بیوگاز و نسبت C/N تشخیص داده شد که طبق آن با افزایش نسبت C/N از ۸ به ۱۹/۷، مقدار تولید بیوگاز به صورت دائمی افزایش پیدا کرد.
- اثر هم‌افزایی در تولید بیوگاز برای راکتورهای با میزان اختلاط ۵۰٪/ پسماند غذایی (R5 و R6) تحت هر دو نسبت VS_{Sc}:VS_{Pr} ۱:۱ و ۱:۲ (به ویژه برای نسبت ۱:۱) مشاهده شد. اما این هم‌افزایی در راکتورهای با میزان اختلاط ۲۵٪/ پسماند غذایی مشاهده نگردید که دلیل آن غلظت بالاتر آمونیاک آزاد در این راکتورها (R3 و R4) بود که مانع از اثر هم‌افزایی برای تولید بیوگاز شده است.
- به طور کلی، در میان تمامی راکتورها، راکتور R5 با نسبت VS_{Pr}:VS_{Sc} ۱:۱ و نسبت VS_{FW}:VS_{SS} برابر با ۲:۲ بهترین عملکرد را از نظر حذف VS و تولید بیوگاز داشت.

۵. قدردانی

این پژوهش به عنوان بخشی از یک پایان‌نامه کارشناسی ارشد در دانشگاه علم و صنعت ایران (IUST) به انجام رسیده است. همچنین به عنوان طرح پژوهشی تحت حمایت صندوق حمایت از پژوهشگران و فناوران کشور (INSF) قرار گرفته است. از مجموعه‌های نامبرده به دلیل حمایتهای مالی و تجهیزاتی صورت گرفته قدردانی می‌گردد.

مراجع

- M.A. De la Rubia, V. Riau, F. Raposo, R. Borja, Thermophilic anaerobic digestion of sewage sludge: focus on the influence of the start-up. A review, *Crit. Rev. Biotechnol.* 33 (2013) 448–460.
- E. Neyens, J. Baeyens, R. Dewil, Advanced sludge treatment affects extracellular polymeric substances to improve activated sludge dewatering, *J. Hazard. Mater.* 106 (2004) 83–92.
- Metcalf and Eddy, *Wastewater engineering: treatment and reuse*, McGrawHill, 4th Ed. 2003.
- I. Turovskiy, P. Mathai, *Wastewater sludge processing*, John Wiley & Sons, 2006.



دوازدهمین کنگره ملی مهندسی عمران

۱۳۹۹ خرداد ۸و

دانشگاه صنعتی سهند، تبریز، ایران



- [5] E.H. Koupaei, M.B. Leiva, C. Eskicioglu, C. Dutil, Mesophilic batch anaerobic co-digestion of fruit-juice industrial waste and municipal waste sludge: Process and cost-benefit analysis, *Bioresour. Technol.* 152 (2014) 66–73.
- [6] B. Chatterjee, D. Mazumder, Anaerobic digestion for the stabilization of the organic fraction of municipal solid waste: A review, *Environ. Rev.* 24 (2016) 426–459.
- [7] S. Jain, I. Wolf, J. Lee, Y. Tong, A comprehensive review on operating parameters and different pretreatment methodologies for anaerobic digestion of municipal solid waste, *Renew. Sustain. Energy Rev.* 247 (2018) 1069–1076.
- [8] E. Tampio, S. Ervasti, T. Paavola, J. Rintala, Use of laboratory anaerobic digesters to simulate the increase of treatment rate in full-scale high nitrogen content sewage sludge and co-digestion biogas, *Bioresour. Technol.* 220 (2016) 47–54.
- [9] J. Cobbley, V.Z. Aubry, Lab-scale demonstration of recuperative thickening technology for enhanced biogas production and dewaterability in anaerobic digestion processes, *Water Res.* 95 (2016) 39–47.
- [10] M.L. Christensen, K. Keiding, P.H. Nielsen, M.K. Jørgensen, Dewatering in biological wastewater treatment: A review, *Water Res.* 82 (2015) 14–24.
- [11] C. Teglia, A. Tremier, J.L. Martel, Characterization of Solid Digestates: Part 1, Review of Existing Indicators to Assess Solid Digestates Agricultural Use, *Waste and Biomass Valorization.* 2 (2011) 43–58.
- [12] E. Iacovidou, D. Ohandja, N. Voulvouli, Food waste co-digestion with sewage sludge—realising its potential in the UK, *J. Environ. Manage.* (2012) 267–274.
- [13] Y. Ahn, W. Lee, S. Kang, S.-H. Kim, Enhancement of Sewage Sludge Digestion by Co-digestion with Food Waste and Swine Waste, *Waste and Biomass Valorization.* (2019) 1–10.
- [14] L. Angenent, S. Sung, L. Raskin, Methanogenic population dynamics during startup of a full-scale anaerobic sequencing batch reactor treating swine waste, *Water Res.* 36 (2002) 4648–4654.
- [15] L. Appels, E. Al., J. Baeyens, J. Degrève, R.D. And, Principles and potential of the anaerobic digestion of waste-activated sludge, *Prog. Energy Combust. Sci.* 34 (2008) 755–781.
- [16] V. Cabbai, M. Ballico, E. Aneggi, D. Goi, BMP tests of source selected OFMSW to evaluate anaerobic codigestion with sewage sludge, *Waste Manag.* 33 (2013) 1626–1632.
- [17] A. Keucken, M. Habagil, D. Batstone, U.J. Energies, Anaerobic co-digestion of sludge and organic food waste—Performance, inhibition, and impact on the microbial community, *Energies.* 11(9) (2018) 2325.
- [18] K. Koch, B. Helmreich, J.J.E. Drewes, J.D.-A. Energy, U. 2015, J.J.E. Drewes, Co-digestion of food waste in municipal wastewater treatment plants: effect of different mixtures on methane yield and hydrolysis rate constant, *Appl. Energy.* 137 (2015) 250–255.
- [19] A. Grosser, E. Neczaj, B. Singh, Å. Almås, Anaerobic digestion of sewage sludge with grease trap sludge and municipal solid waste as co-substrates, *Environ. Res.* 155 (2017) 249–260.
- [20] M.S. Prabhu, S. Mutnuri, Anaerobic co-digestion of sewage sludge and food waste, *Waste Manag. Res.* 34 (2016) 307–315.
- [21] C. Liu, H. Li, Y. Zhang, Improve biogas production from low-organic-content sludge through high-solids anaerobic co-digestion with food waste, *Bioresour. Technol.* 219 (2016) 252–260. doi:10.1016/j.biortech.2016.07.130.
- [22] X. Zhou, G. Jiang, Q. Wang, Z. Yuan, A review on sludge conditioning by sludge pre-treatment with a focus on advanced oxidation, *Rsc Adv.* 4 (2014) 50644–50652. doi:10.1039/C4RA07235A.
- [23] W. Kuo-Dahab, P. Amirhor, M. Zona, Investigating anaerobic co-digestion of sewage sludge and food waste using a bench-scale pilot study, *Proc. Water Environ. Fed.* 2 (2014) 1–23.
- [24] N. Heo, S. Park, J. Lee, H. Kang, D.P., Single-stage anaerobic codigestion for mixture wastes of simulated Korean food waste and waste activated sludge, *Biotechnol. Fuels Chem.* 3 (2003) 105–1008.



دوازدهمین کنگره ملّی مهندسی عمران

۱۳۹۹ خرداد ۸و۷

دانشگاه صنعتی سهند، تبریز، ایران



- [25] Z. Li, Z. Chen, H. Ye, Y. Wang, W. Luo, J. Chang, Q. Li, Anaerobic co-digestion of sewage sludge and food waste for hydrogen and VFA production with microbial community analysis, *Waste Manag.* (2018) 789–799.
- [26] A. Kowalczyk, E. Harnisch, S. Schwede, M. Gerber, Different mixing modes for biogas plants using energy crops, *Appl. Energy.* 112 (2013) 465–472.
- [27] A.P.H.W.W. Association, A.P.H.W.W. Association, W.P.C. Federation, APHA, Standard methods for the examination of water and wastewater, 22nd ed., American Public Health Association, 2008.
- [28] X. Dai, Y. Chen, D. Zhang, J. Yi, High-solid Anaerobic Co-digestion of Sewage Sludge and Cattle Manure: The Effects of Volatile Solid Ratio and pH, *Sci. Rep.* 6 (2016) 35194.
- [29] J. Zhang, C. Lv, J. Tong, J. Liu, J. Liu, D. Yu, Y. Wang, Optimization and microbial community analysis of anaerobic co-digestion of food waste and sewage sludge based on microwave pretreatment, *Bioresour. Technol.* 200 (2016) 253–261.
- [30] H. Lo, T. Kurniawan, M. Sillanpää, T. Pai, Modeling biogas production from organic fraction of MSW co-digested with MSWI ashes in anaerobic bioreactors, *Bioresour. Technol.* 101 (2010) 6329–6335.